

01;05;07;08

К теории генерации механических колебаний лазерным излучением в твердых телах с внутренними напряжениями термоупругим методом

© К.Л. Муратиков

Физико-технический институт им. А.Ф. Иоффе РАН, С.-Петербург

Поступило в Редакцию 25 февраля 1998 г.

Исследовано поведение нестационарных деформаций в твердых телах с внутренними напряжениями при облучении модулированным во времени лазерным излучением. В рамках нелинейной теории термоупругости предложена модель возбуждения механических колебаний с учетом зависимости параметра термоупругой связи от напряжения. Получено выражение для электрического сигнала, регистрируемого пьезоэлементом при генерации механических колебаний в однородно деформированном образце. Произведено сравнение полученных результатов с имеющимися экспериментальными данными, показывающее их качественное совпадение.

Одно из интересных направлений исследования термоупругого эффекта связано с возможностью регистрации с его помощью механических напряжений в твердых телах [1–5]. К настоящему времени имеется ряд экспериментальных данных для металлов [1,4–5] и керамик [2–3,6], подтверждающих такую возможность. Вместе с тем механизм влияния механических напряжений на результаты лазерных термоупругих измерений остается недостаточно выясненным. В работе [4] предложена модель образования термоупругого сигнала, связывающая его зависимость от механических напряжений главным образом с зависимостью от них теплофизических параметров материала. С другой стороны, в работе [6] было экспериментально показано, что в керамиках сильная зависимость термоупругого сигнала от остаточных напряжений может наблюдаться и при отсутствии каких-либо заметных изменений их теплофизических свойств.

В связи с этим в данной работе предложена модель образования термоупругого сигнала, генерируемого в твердотельных объектах лазер-

ным излучением, способная объяснить отмеченные особенности. При этом ее важным отличием является учет зависимости коэффициента термоупругой связи от механических напряжений. Такая зависимость ранее отмечалась как для коэффициента теплового расширения [7], так и для модуля упругости [8]. Поскольку в случае изотропных твердых тел коэффициент термоупругой связи представляет собой произведение этих величин, то представляется важным включение подобной зависимости и в коэффициент термоупругой связи.

Рассмотрение вопроса о генерации механических колебаний лазерным излучением в твердых телах с механическими напряжениями проведем в рамках нелинейной механики с начальными деформациями [9]. При этом будем считать, что начальные деформации не являются малыми. Поэтому вектор смещения точек тела будем считать заданным в виде

$$\mathbf{u}(\mathbf{r}) = \mathbf{r} + \mathbf{U}(\mathbf{r}) + \Delta\mathbf{u}(\mathbf{r}), \quad (1)$$

где $\mathbf{U}(\mathbf{r})$ описывает начальную деформацию, а вектор $\Delta\mathbf{u}(\mathbf{r})$ — смещение частиц тела, обусловленное термоупругими деформациями под действием лазерного излучения.

Уравнение движения элементов тела в нелинейной механике [10] может быть представлено в виде

$$\frac{\partial P_{ik}}{\partial x_k} = \rho_0 \Delta \ddot{u}_i, \quad (2)$$

где $P_{ik} = \frac{\partial u_i}{\partial x_m} t_{km}$ — тензор Пиолы–Кирхгофа; t_{km} — тензор напряжений, связанный с плотностью внутренней энергии тела W соотношением $t_{km} = \frac{\partial W}{\partial u_{km}}$; $u_{km} = \frac{1}{2} \left(\frac{\partial u_k}{\partial x_m} + \frac{\partial u_m}{\partial x_k} + \frac{\partial u_i}{\partial x_k} \frac{\partial u_i}{\partial x_m} \right)$ — тензор деформации; ρ_0 — плотность тела в начальном состоянии.

Плотность энергии деформированного тела может быть представлена в виде суммы $W = W_1 + W_2$ (W_1 — плотность механической энергии, W_2 — плотность энергии, связанной с термоупругими деформациями). В данной работе предполагается, что в начальном состоянии тело изотропно, а механическая часть его энергии определяется моделью Мурнагана [11]. Для плотности термоупругой энергии по аналогии с работой [7] будем считать, что коэффициент термоупругой связи зависит от тензора деформации, причем эта зависимость носит линейный характер. Кроме того, будем считать, что деформации Δu_{ik} , возникающие в результате воздействия на объект лазерного излучения, являются

малыми. При перечисленных условиях плотность термоупругой энергии с точностью до линейных по Δu_{ik} членов может быть представлена в виде

$$W_2 = -\gamma_0(\delta_{ik} + \beta U_{ik})\Delta u_{ik}(T - T_0), \quad (3)$$

где γ_0 — коэффициент термоупругой связи для недеформированной тела; β — коэффициент, определяющий зависимость термоупругой связи от начальной деформации; T_0 — температура окружающей среды.

Отметим, что при $\beta = 0$ равенство (3) сводится к обычному выражению для плотности термоупругой энергии изотропного тела. С помощью выражений (2), (3) можно получить уравнение движения для вектора смещения частиц тела при возбуждении в нем лазерным излучением механических колебаний, обусловленных термоупругим эффектом. В данной работе ограничимся случаем однородно деформированного тела с компонентами вектора начальной деформации, заданными в виде $U_i = A^{(i)}x_i$ ($A^{(i)}$ — постоянные, характеризующие однородную деформацию по различным направлениям). Кроме того, будем считать вектор смещения Δu и колебания температуры ΔT в теле малыми величинами и произведем по ним линеаризацию уравнений движения. Не останавливаясь на деталях подобных вычислений, приведем сразу окончательный результат для компонент вектора Δu_i . С помощью выражений (2), (3) получим следующие уравнения

$$f_k^{(i)} \frac{\partial^2 \Delta u_i}{\partial x_k \partial x_k} + h_k^{(i)} \frac{\partial^2 \Delta u_k}{\partial x_k \partial x_i} = g^{(i)} \frac{\partial \Delta T}{\partial x_i} + \rho_0 \Delta \ddot{u}_i, \quad (4)$$

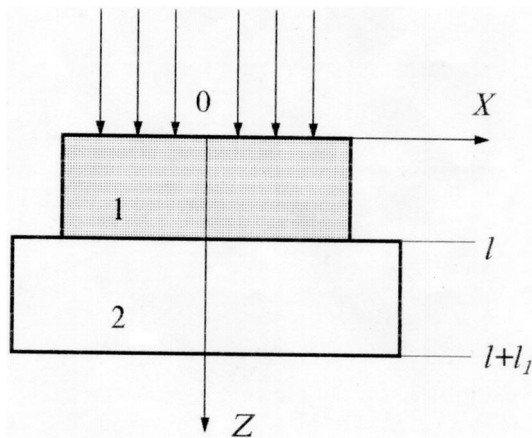
где $f_k^{(i)} = \left[t_{kk}^{(0)} + \frac{(1 + A^{(i)})^2}{2}(b + nU_{ii} + nU_{kk}) \right]$, $b = 2\mu + (2m - n)U_{pp}$,

$$h_k^{(i)} = (1 + A^{(i)})(1 + A^{(k)}) \left[c_{ii} + 2mU_{kk} + \frac{1}{2}(b + nU_{ii} + nU_{kk}) \right],$$

$$g^{(i)} = \gamma_0(1 + A^{(i)})(1 + \beta U_{ii}),$$

$c_{ii} = K - \frac{2}{3}\mu + 2(l - m + \frac{n}{2})U_{pp} + (2m - n)U_{ii}$, $t_{kk}^{(0)}$ — компоненты тензора начальной деформации, K и μ — модули всестороннего сжатия и сдвига материала; l , n , m — постоянные Мурнагана.

Отметим, что в правых частях выражений для $f_k^{(i)}$, $h_k^{(i)}$, c_{ii} и $g^{(i)}$ по повторяющимся индексам суммирования не производится. Уравнение (4) позволяет определить деформацию в теле при условии, что



Геометрия расположения образца и пьезоэлемента: 1 — образец, 2 — пьезоэлемент.

известно распределение температуры, создаваемое в нем возбуждающим лазерным излучением. В данной работе будем считать, что появление в объекте внутренних напряжений не приводит к заметным изменениям его теплофизических параметров. Подобная ситуация экспериментально наблюдалась, например, в ряде керамик [6]. Кроме того, будем считать, что поверхность образца освещается лазерным излучением равномерно, а само излучение промодулировано во времени по гармоническому закону.

Наряду с распределением температуры для решения уравнения (4) необходимо задать граничные условия. Граничные условия определяются способом регистрации переменных деформаций в объекте. В данной работе рассмотрим случай, когда она осуществляется с помощью присоединенного к образцу пьезоэлемента (см. рисунок). Для определения переменных деформаций, генерируемых лазерным излучением, граничное условие на верхней поверхности образца можно считать заданным на свободной поверхности. На границе объекта с пьезоэлементом воспользуемся условием непрерывности нормальной компоненты вектора напряжений на границе $z = l$. Кроме того, для упрощения задачи воспользуемся принятым в нелинейной механике допущением о том, что

граничные условия на деформированной поверхности можно заменять граничными условиями на недеформированной поверхности [12].

Требование непрерывности нормальной компоненты на границе образец–пьезоэлемент позволяет найти сигнал, снимаемый с пьезоэлемента. Для этого достаточно определить компоненту вектора смещения $\Delta u_3(z, t)$ [4,5]. При гармоническом законе модуляции возбуждающего лазерного излучения эта компонента может быть представлена в виде $\Delta u(z, t) = \Delta u(z, \omega)e^{i\omega t}$ (ω — круговая частота модуляции излучения). Тогда с помощью уравнения (4) и указанных граничных условий для $\Delta u_3(z, \omega)$ получим следующий результат:

$$\Delta u_3(z, \omega) = -\frac{U_3^{(0)} e^{-\sigma l}}{\cos Ql} \cos Qz + \left[\frac{\gamma_0(1+A^{(3)})(1+\beta U_{33})}{f_3^{(3)} + h_3^{(3)}} \Delta T_s + \sigma U_3^{(0)} \right] \sin Q(z-l) + U_3^{(0)} e^{-\sigma z}, \quad (5)$$

где $U_3^{(0)} = -\frac{\gamma_0 \sigma (1+A^{(3)})(1+\beta U_{33})}{(f_3^{(3)} + h_3^{(3)})\sigma^2 + \rho_0 \omega^2} \Delta T_s$, $\sigma = (1+i)\sqrt{\frac{\omega}{2\kappa}}$, κ — температуропроводность образца, $Q = \sqrt{\frac{\rho_0 \omega^2}{f_3^{(3)} + h_3^{(3)}}}$, ΔT_s — амплитуда колебаний температуры поверхности образца.

Механические и электрические характеристики пьезоэлемента связаны с помощью известных уравнений [13]. Тогда с использованием условия непрерывности нормальной компоненты напряжения на границе образец–пьезоэлемент для напряжения электрического сигнала $V(\omega)$, регистрируемого на выходе разомкнутого пьезоэлемента, получим следующее выражение:

$$V(\omega) = -\frac{\varepsilon^{(T)} l_1}{C^{(ET)} \varepsilon^{(ST)} + e^{(T)^2}} (f_3^{(3)} + h_3^{(3)}) \left. \frac{\partial \Delta u_3}{\partial z} \right|_{z=l}, \quad (6)$$

где $C^{(ET)}$, $\varepsilon^{(ST)}$, $e^{(T)}$ — характеристики пьезоэлектрика, определенные так же, как в работе [13].

Выражение (6) позволяет определить пьезоэлектрический сигнал при достаточно общих условиях. Однако в данной работе ограничимся рассмотрением случая, когда частота модуляции возбуждающего лазерного излучения не слишком высока, так что выполняется условие

$Ql \ll 1$. Кроме того, будем считать образец достаточно толстым в тепловом отношении, т. е. что $\sigma l \ll 1$. Тогда с помощью выражения (6) сигнал от пьезодатчика получим в виде

$$V(\omega) = i \frac{\varepsilon^{(T)} \kappa \rho_0^{3/2} \omega^2 l_1}{C^{(ET)} \varepsilon^{(ST)} + e^{(T)^2}} \times \frac{\gamma_0 \cdot (1 + A^{(3)})(1 + \beta U_{33}) \Delta T_s}{\left\{ (1 + A^{(3)}) \left(K + \frac{4}{3} \mu \right) + \left[t_{33}^{(0)} + (1 + A^{(3)}) (2IU_{pp} + (4m + n)U_{33}) \right] \right\}^{3/2}}. \quad (7)$$

Выражение (7) позволяет проанализировать некоторые общие закономерности в поведении пьезоэлектрического сигнала от объектов с внутренними напряжениями. Ограничимся в данной работе рассмотрением только физических, но не геометрических нелинейностей [9,12], т. е. будем считать $A^{(3)} \ll 1$. В соответствии с результатами работы [7] коэффициент β положителен. Поэтому действие в образце растягивающих напряжений способствует усилению термоупругой связи, а сжимающих — его уменьшению.

В работе [5] были проведены эксперименты по возбуждению лазерным излучением механических колебаний в нагруженных стержнях из титана. В соответствии с выражением (7) было зарегистрировано увеличение пьезоэлектрического сигнала при возбуждении лазерным лучом механических колебаний в зонах действия растягивающих напряжений и его уменьшение в областях действия сжимающих. На основании данных по значению коэффициента β для металлов [7] можно оценить влияние внутренних напряжений на пьезоэлектрический сигнал. Так, для условий работы [5] выражение (7) показывает, что зависимость коэффициента термоупругой связи от напряжения может приводить к изменению пьезоэлектрического сигнала на уровне 10%.

Это значение несколько меньше полученного в работе [5]. Однако следует иметь в виду, что для большинства металлов постоянные Мурнагана имеют отрицательные значения. Тогда в соответствии с выражением (7) зависимость пьезоэлектрического сигнала от напряжений, обусловленная механическими нелинейностями, будет аналогична зависимости от коэффициента термоупругой связи. В этих условиях общее изменение пьезоэлектрического сигнала будет несколько больше значения, связанного только с изменением коэффициента термоупру-

гой связи. К сожалению, более детальная оценка пьезоэлектрического сигнала затруднена отсутствием данных по константам Мурнагана для титана. Сильные изменения пьезоэлектрического сигнала из-за внутренних напряжений зарегистрированы также вблизи концов трещин в керамиках [3,6]. Величина этих изменений обычно также составляет несколько десятков процентов.

Таким образом, приведенная теория позволяет качественно объяснить основные особенности генерации механических колебаний лазерным излучением в твердотельных объектах с внутренними напряжениями. Вместе с тем для обеспечения количественного совпадения теории с экспериментом необходимо дальнейшее ее развитие с целью достижения более полного учета особенностей проведенных экспериментальных исследований.

Список литературы

- [1] *Kasai M., Sawada T.* // Photoacoustic and Photothermal Phenomena II. Springer Series in Optical Sciences. Springer-Verlag. 1990. V. 62. P. 33–36.
- [2] *Burbelo R.M., Gulyaev A.L., Robur L.I., Zhabitenko M.K., Atamanenko B.A., Kryl Ya.A.* // J. de Physique. 1994. C7. V. 4. P. 311–314.
- [3] *Zhang H., Gissing S., Weides G., Netzelmann U.* // J. de Physique. 1994. C7. V. 4. P. 603–606.
- [4] *Qian M.* // Chinese J. Acoust. 1995. V. 14. N 2. P. 97–106.
- [5] *Burbelo R.M., Zhabitenko M.K.* // Progress in Natural Science. London and Washington: Taylor&Francis, 1996. Suppl. V. 6. P. 720–723.
- [6] *Муратиков К.Л., Глазов А.Л., Роуз Д.Н., Думар Д.Е., Квай Г.Х.* // Письма в ЖТФ. 1997. Т. 26. В. 5. С. 44–52.
- [7] *Гарбер Р.И., Гундин И.А.* // ФТТ. 1961. Т. III. № 1. С. 176–177.
- [8] *Bateman T., Mason W.P., McSkimin H.J.* // J. Appl. Phys. 1961. V. 32. N 5. P. 928–936.
- [9] *Гузь А.Н.* // Прикладная механика. 1970. Т. VI. № 2. С. 3–11.
- [10] *Tokuoka T., Saito M.* // J. Acoust. Soc. Am. 1969. V. 45. N 5. P. 1241–1246.
- [11] *Лурье А.И.* Нелинейная теория упругости. М.: Наука, 1980. 512 с.
- [12] *Новожилов В.В.* Основы нелинейной теории упругости. Л.–М.: Гостехиздат, 1948. 211 с.
- [13] *Jackson W., Amer N.M.* // J. Appl. Phys. 1980. V. 51. N 6. P. 3343–3353.